

京都大学工学部	正員	椎葉充晴
京都大学工学部	正員	高樟琢馬
運輸省港湾研	正員	森川雅行

## 1. はじめに

従来の洪水予報は、1つのハイエトグラフに対して1つのハイドログラフまたは数個のハイエトグラフに対してそれに応じた数個のハイドログラフというように決定論的に議論されてきた。本来、洪水予報は予測された洪水に対して、よりかじめしならかの行動（ダムの予備放流、危険地区の住民の避難等）をするべく作られるものであるから、誤まつた予報は誤まつた行動を引き起し、経済的損失を招いたり、場合によっては人命を失うこともあります。こうした事情を考えると、洪水予報においては予測値だけでなく、予報の精度も問題となるところ。

一般に、流出現象を忠実に表現するモデルを構成することは不可能であり、何らかの現象の簡略化・理想化は避けられない。こうして構成されたモデルは誤差を含んでおり、このモデル誤差を償うものとして確率的外乱を付与することが考えられる。さらに、システムを観測する際に確率的外乱誤差が入ってきてることを避けることはできない。

本研究は、このような動的システム理論を流出システムのフィルタリング理論を適用するにより、確率論的な洪水予報モデル構成の基本的な枠組を提供しようとするものである。

## 2. 気象システム・流出システムのシステム方程式

実際の気象の諸量が離散時間で観測されることを考慮して、本研究では、次のよう「F型」のシステム方程式で、気象システムが表現されるものとする。

$$\dot{x}_{k+1} = \Phi(x_k, t_k) + P(t_k) w_{k+1}, \quad y_k = h(x_k, t_k) + u_k, \quad k=0, 1, 2, \dots \quad (1)$$

ここで、 $x_k$  は時刻  $t_k$  における気象システムの状態量ベクトル、 $y_k$  は時刻  $t_k$  から  $t_{k+1}$  までの降雨強度、 $\Phi$ 、 $P$  は一般的非線形の関数、 $P(t_k)$  は非確率行列、 $w_{k+1}$ 、 $u_k$  は白色正規雑音である。

また、流出システムは、次のよう「G型」のシステム方程式で表現されるものとする。

$$dx_t/dt = f(x_t, t) + b y_k + G w_t, \quad y_k = g(x_{t_k}, t_k) + v_k, \quad t_k \leq t < t_{k+1}, \quad k=0, 1, \dots \quad (2)$$

ここで、 $x_t$  は時刻  $t$  における流出システムの状態量ベクトル、 $y_k$  は時刻  $t_k$  の流出流量、 $f$ 、 $g$  は一般的非線形の関数、 $b$ 、 $G$  は非確率行列、 $v_k$  は白色正規雑音、 $w_t$  は連続白色正規雑音である。

## 3. フィルタリング・予測理論の適用

時刻  $t$  の観測エントリ情報をもとにし、現在時刻の流出システムの状態  $x_t$  を推定し、さらに将来の降雨・流出流量を予測する手順を図Aに示す。ただし、 $y_k$ 、 $y_k$ 、 $x_k$  は観測されるものとする。

フィルタリングの場合は、仮定により  $y_k$  は既知としてよいから、(2)式のみを使って流出システムの状態推定および推定誤差の変分微行列を求めることがある。(2)式は一般的非線形で、厳密な非線形フィルターは無いが、準線形化による反復線形フィルタースムーザー (iterated linear filter smoother)<sup>1)</sup> が適用できる。

予測の場合には離散時間の状態量と連続時間の状態量が混在することになるので、以下のように取扱う。

まず、新たに状態ベクトル  $AT = [S^T, X^T]$  ( $T$ : 転置を表す) を導入し、状態方程式は、  
1) 時刻  $t_k < t < t_{k+1}$  においては、連続時間で、

$$\frac{dA}{dt} = \begin{bmatrix} 0 \\ f(x, t) + b y_k \end{bmatrix} + \begin{bmatrix} 0 \\ b \end{bmatrix} u_k + \begin{bmatrix} 0 \\ G \end{bmatrix} w_t \quad (3)$$

2) 時刻  $t_{k+1}$ においては、離散時間で

$$A_{k+1} = \begin{bmatrix} S_{k+1} \\ x_{k+1} \end{bmatrix} = \begin{bmatrix} \Psi(S_k, t_k) \\ x_k \end{bmatrix} + \begin{bmatrix} P \\ 0 \end{bmatrix} \omega_k \quad (4)$$

と表される。

1) の場合、 $dx(t) = f(x(t)) dt + P u dt + G d\beta_t$  ( $u \sim N(0, Q)$ ,  $\beta_t$  が Brown 運動過程で  $E\{d\beta_t d\beta_t^T\} = R dt$ ) の形をしている。この場合、準線形化により、平均値  $\bar{x}(t)$ 、共分散行列  $P(t)$  は近似的に次式、

$$\begin{aligned} \frac{d\bar{x}(t)}{dt} &= f(\bar{x}(t)), \quad P(t) = \Psi(t, t_0) P(t_0) \Psi^T(t, t_0) \\ &+ S_{t_0} \Psi(t, t_0) dQ P(t) S_{t_0}^T \Psi^T(t, t_0) dt_0 + S_{t_0}^T \Psi(t, t_0) G R G^T \Psi(t, t_0) dt \end{aligned} \quad (5)$$

を満たす。ただし、 $\Psi(t, t_0)$  は  $x(t)$  の回りに準線形化した方程式の推移行列である。2) の場合、 $x(k+1) = f(x(k)) + \omega_k$  ( $\omega_k \sim N(0, Q_k)$ ) の形をしている。この場合、Taylor 展開の 2 次項までとし、 $\omega_k$  が正規分布をしていてと仮定すると、平均値  $\bar{x}(k+1)$ 、共分散行列  $P(k+1)$  は、

$$\begin{aligned} \bar{x}_i(k+1) &= f_i(\bar{x}(k)) + \frac{1}{2} \sum_{j, l} \frac{\partial^2 f_i}{\partial x_j \partial x_l} P_{j,l}(k), \quad P_{ij}(k+1) = \sum_{m_1, m_2} \frac{\partial f_i}{\partial x_{m_1}} \frac{\partial f_i}{\partial x_{m_2}} P_{m_1, m_2}(k) \\ &+ \frac{1}{4} \sum_{m_1, m_2, m_3, m_4} \frac{\partial^2 f_i}{\partial x_{m_1} \partial x_{m_2}} \frac{\partial^2 f_i}{\partial x_{m_3} \partial x_{m_4}} (P_{m_1, m_3}(k) P_{m_2, m_4}(k) + P_{m_1, m_4}(k) P_{m_2, m_3}(k)) + Q \end{aligned} \quad (6)$$

になります。これが式である。

#### 4. 数値シミュレーションによる理論検証

本研究では、仮想の気象システムモデルにて降雨を擬似発生させ、その降雨データに基づく流出量について各時点をフルタリーニング・予測を行ないその精度を検討する。この数値シミュレーション用いたシステムモデルは簡単のため(1), (2)式を 1 次元として、次のようである。

1) 気象システム — 仮想の式である。

$$S_{k+1} = S_k + C_1 \exp\{-C_2(S_k - 1)^2\} + C_3 + C_4 \omega_{k+1}, \quad r_k = h(S_k) + C_5 u_k$$

2) 流出システム — 脲留閑数法による。

$$\begin{aligned} dx/dt &= D_1 r_k - g(x_t) + D_4 u_k, \quad r_k = g(x_{t_k - T}) + D_5 u_k \\ S = k, \quad h(S) &= \begin{cases} 0 & (S \leq 0, S \geq 2) \\ C_6/(S-2)^2 & (0 \leq S \leq 2) \end{cases} \quad g(x) = \begin{cases} D_2 x^3 & (x \geq 0) \\ -D_2(-x)^3 & (x < 0) \end{cases} \end{aligned}$$

$C_1, \dots, C_6$  は非負定数、 $D_1, \dots, D_5$  は定数である。

このようにシステムモデルで数値シミュレーションを行なって得られた流量予測結果の一例を右図に示す。図Bは、シミュレートされたハイドログラフと、時点  $k=10, 15, 20, 25$  からそれを +10 時間後まで毎時予測した流量を示したものである。図Cは、各時点における 1 時間後の流量予測値と真値との差およびその標準偏差を示したものである。これらの図によると結果は良好であり、非線形性の影響は多大であるが理論に対処できることが示されている。また、データの蓄積による予測精度の向上効果や、各システム方程式の誤差項の大小による予測精度の変化、遅滞時間の影響などについて理論と一致するシミュレーション結果が得られる。細かい都合にF4 詳細は講演時に述べることとする。

本研究では、システム方程式の定数、誤差の統計的性質について既知として議論した。この点について、現在検討中である。

参考文献. 1) Tugowski, A.H.: Stochastic Processes and Filtering Theory, Academic Press (1970)

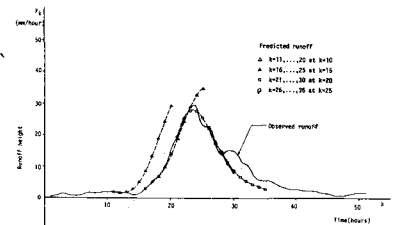
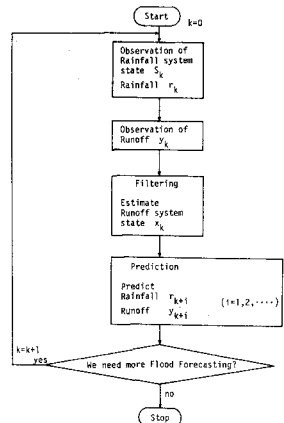


図 B

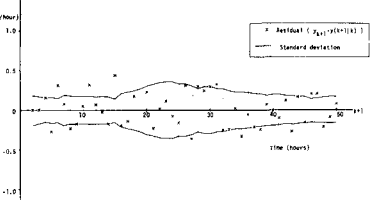


図 C